

62

И Н С Т И Т У Т
ЯДЕРНОЙ ФИЗИКИ СОАН СССР

ПРЕПРИНТ И Я Ф 77 - 82.

И.Б.Вассерман, И.А.Кооп, Л.М.Курдадзе, В.П.Кутовой,
А.П.Лысенко, С.И.Мишнев, В.А.Сидоров, А.Н.Скринский,
Г.М.Тумайкин, В.Г.Шамовский, Ю.М.Шатунов

С Т А Т У С В Э П П - 2 М

Новосибирск

1977

Эксперименты по физике высоких энергий со встречными электрон-позитронными пучками на накопительном кольце ВЭПП-2М с максимальной энергией до 2×670 МэВ^{1,2} были начаты в 1974 году. В течение 1975 и 1976 годов проведен цикл экспериментов от 2х300 МэВ до 2х670 МэВ. Значительная часть времени работы накопителя была посвящена изучению радиационной поляризации и экспериментам с поляризованными пучками³, а также использованию синхротронного излучения.

В течение этого времени также велась работа по изучению эффектов встречи и дальнейшему увеличению светимости установки. Ниже приведено сравнение светимости на одно место встречи ($\text{см}^{-2} \text{сек}^{-1}$) накопителя с другими установками при энергии 2×510 МэВ:

ВЭПП-2	АСО	ВЭПП-2М
$1 \cdot 10^{28}$	$2 \cdot 10^{28}$	$1 \cdot 10^{29}$

ВЭПП-2М
$1,2 \cdot 10^{30}$

I. Описание комплекса ВЭПП-2М. Жестко-фокусирующее накопительное кольцо ВЭПП-2М сооружено на базе ускорительно-накопительного комплекса ВЭПП-2⁴, на котором ранее были проведены первые эксперименты на встречных электрон-позитронных пучках. Слабофокусирующее кольцо ВЭПП-2 используется в качестве бустерного накопителя, а инжектором в него, как и ранее, является электронный синхротрон БЭМ на энергию 250 МэВ. Инъекция в бустер ВЭПП-2, как электронов, так и позитронов, получаемых посредством конверсии электронов, производится поочередно на энергии 120 МэВ. Затем накопленный в ВЭПП-2 пучок ускоряется и переводится в кольцо ВЭПП-2М. Перевод пучков обычно идет на той же энергии, при которой проводится эксперимент. Это обеспечивает непрерывность работы, а средняя светимость оказывается близкой к максимальной.

Впуск в ВЭПП-2М производится в вертикальном направлении, инфлектор расположен через $3/4$ бетатронного колебания. Имеется прединфлектор, действующий только на накопленный пучок, чтобы приблизить его при впуске новой порции частиц к септум магниту. Такой метод (Рис.2) позволяет в 2-3 раза увеличить акцептанс накопителя.

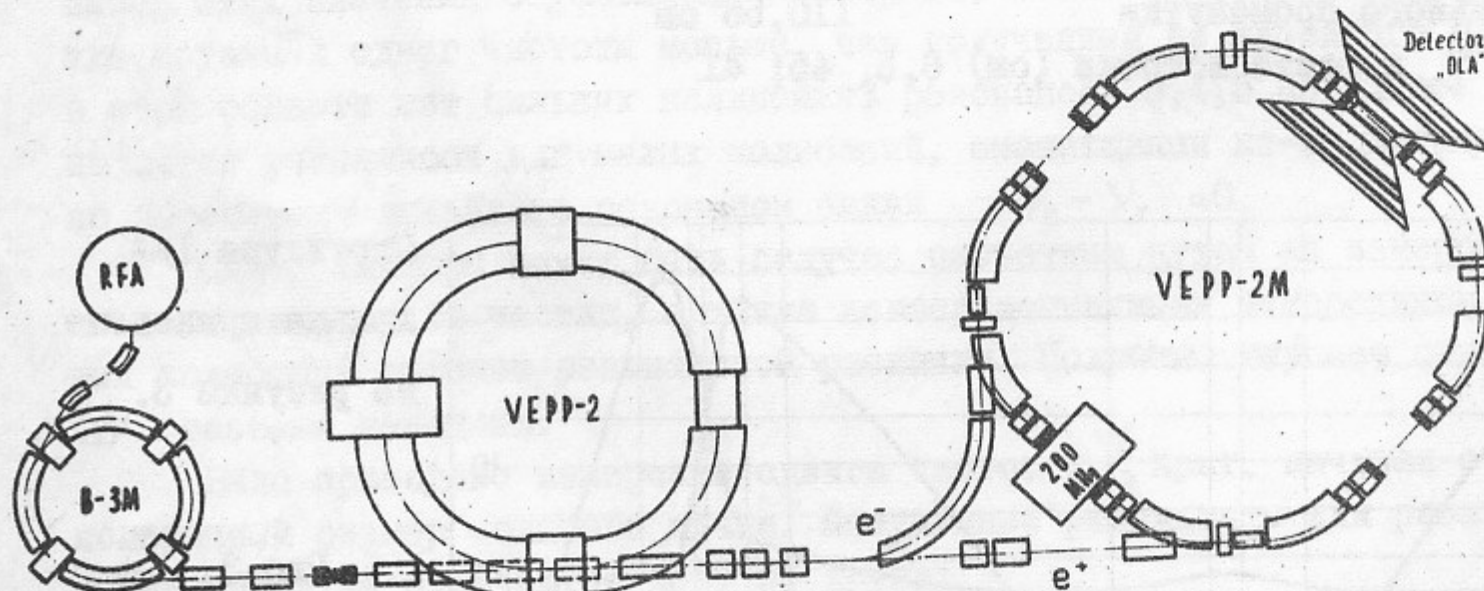


Рис. I. Схема комплекса ВЭПП-2.

и контроль параметров ведется от вычислительной машины М-6000.

2. Магнитная структура ВЭПП-2М. Структурно накопитель состоит из 8 секций магнитной системы, четырех коротких и четырех длинных промежутков. Элемент периодичности имеет зер-

Средняя скорость накопления позитронов в кольце ВЭПП-2М 1 мА/мин.

Системы контроля параметров пучков и положения равновесной орбиты основаны на наблюдении синхротронного излучения. Точное измерение циркулирующего тока проводится с помощью ферромагнитного датчика, работающего по принципу компенсации второй гармоники.

Управление всеми основными элементами комплекса

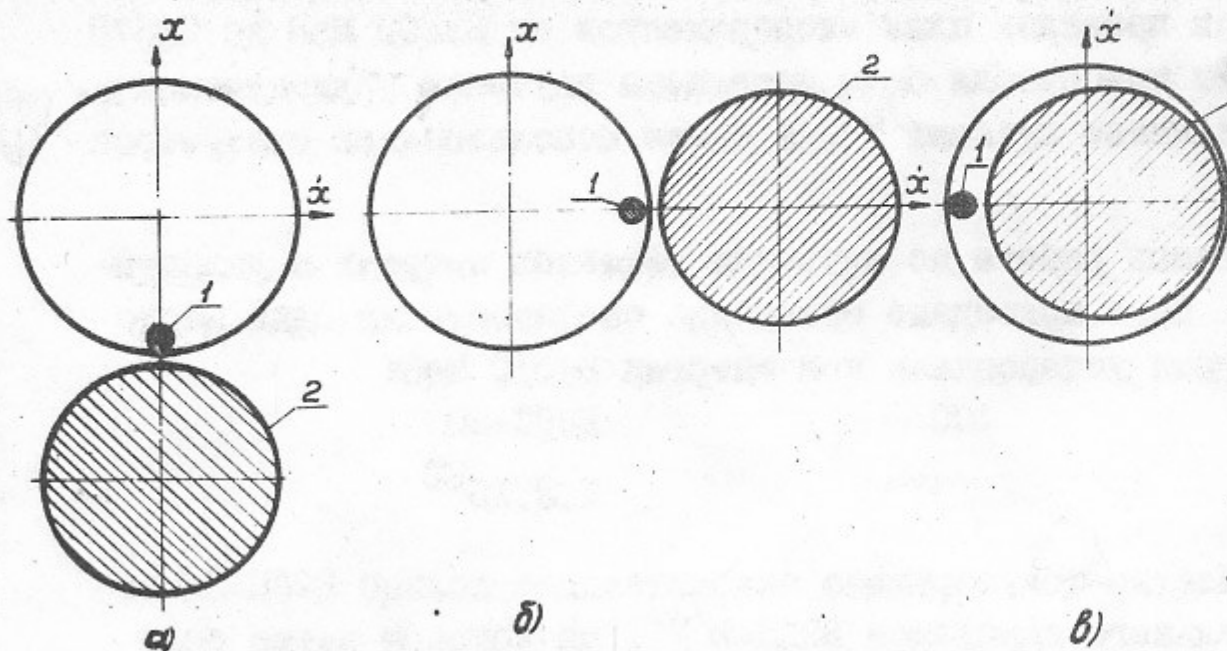


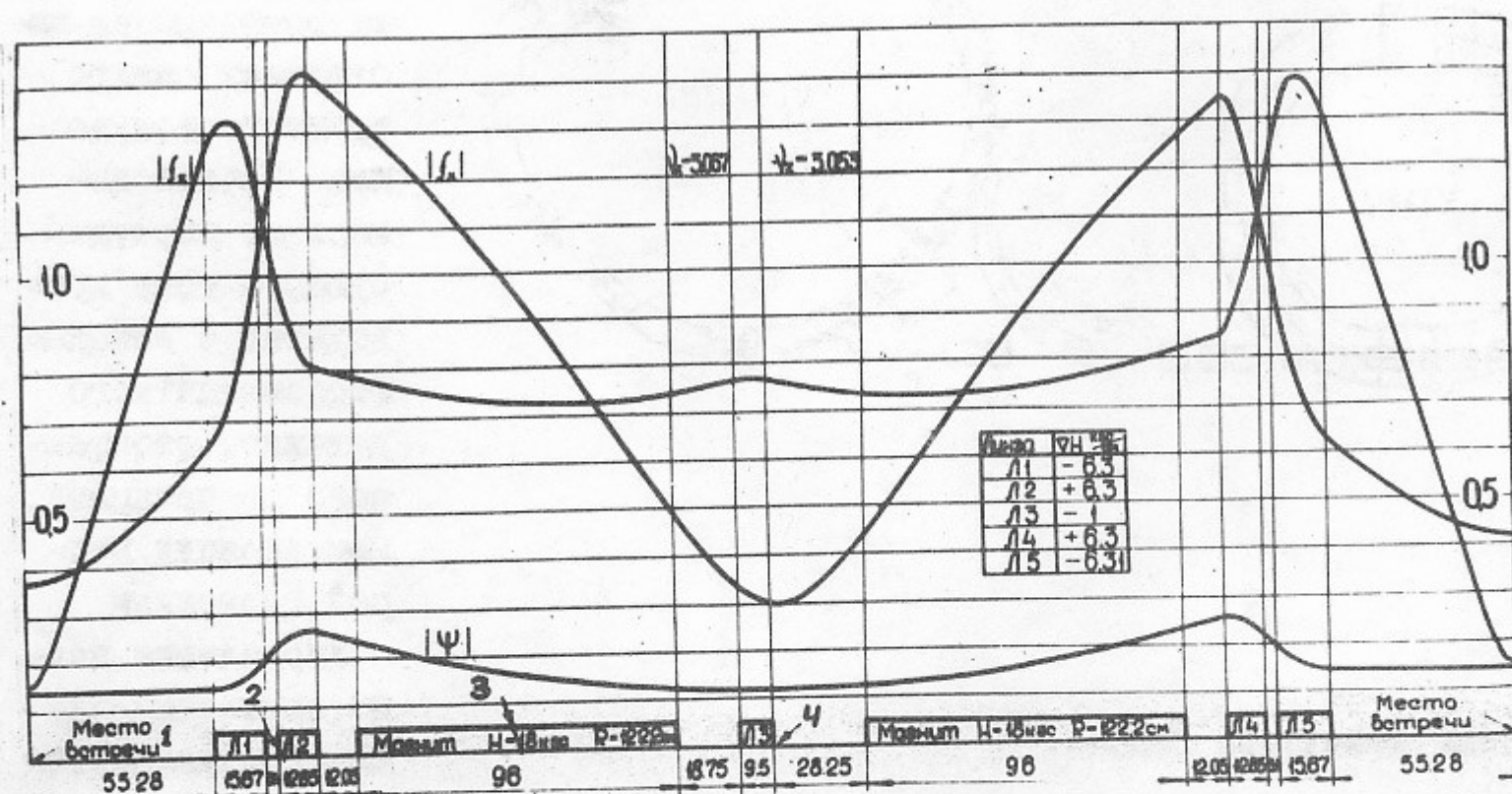
Рис.2. Положение эмиттанса циркулирующего (1) и накопленного (2) пучков у секторных магнитов (а), перед инфлектором (б), после инфлектора (в).

кальную симметрию. Каждая секция имеет поворотный магнит с однородным полем и две квадрупольные линзы. В одном из длинных промежутков расположен резонатор, три остальных используются для экспериментов. В коротких промежутках дополнительные квадрупольные линзы, позволяющие менять вертикальную β -функцию в области взаимодействия, впусканые магниты, пластины инфлекторов и электростатические квадруполи.

Таблица I

Основные параметры магнитной системы

Максимальная энергия	670 МэВ
Периметр кольца	1788 см
Частоты бетатронных колебаний ν_z, ν_x	~ 5.06
Коэффициент пространственного уплотнения орбит α	0,17
Максимальное поле в магнитах	18,25 кГс
Градиент магнитного поля в основных линзах	6,4 кГс/см
Длина экспериментального промежутка	110,56 см
Значения $\beta_z, \beta_x, \gamma_x$ в месте встречи (см) 6,5; 45; 41	



Структура I/4 кольца приведена на рисунке 3.

Рис.3

Для коррекции хроматизма, кубичной нелинейности и связи бетатронных колебаний первоначально было установлено 16 сексупольных, 16 октупольных линз и 2 повернутых квадрупольи. В процессе работы с целью подавления связи и уменьшения вертикальной γ -функции шесть октупольных линз были заменены повернутыми квадрупольями. В результате было получено $|\gamma_z - \gamma_x|_{min} \approx 0,0005$ (вблизи резонанса связи $\gamma_z - \gamma_x = 0$) и соотношение эмиттансов вертикальных и радиальных колебаний

$$(\varepsilon_z / \varepsilon_x)^2 = 0,06 \quad \text{при} \quad \gamma_z = 3,08 \quad \text{и} \quad \gamma_x = 3,06$$

3. Наблюдаемые когерентные нестабильности. В режиме одного сгустка наблюдались два типа неустойчивостей.

Продольная когерентная неустойчивость дипольного типа, по-видимому, была обусловлена взаимодействием пучка с паразитными модами ускоряющего резонатора. Соответствующей перестройкой высших гармоник резонатора неустойчивость была подавлена. При этом в зависимости от положения перестраивавших электродов наблюдались:

- а) когерентные колебания большой амплитуды;
- б) небольшое увеличение размеров (в 1,5–2 раза);
- в) периодические всплески больших амплитуд с последующим затуханием;
- г) подавление неустойчивости до естественных размеров.

Вертикальная когерентная неустойчивость наблюдалась только при отрицательном хроматизме: $E \cdot d\gamma/dE$. Порог составлял несколько миллиампер. При положительном хроматизме неустойчивость не наблюдалась.

Радиальные когерентные связанные колебания были обнаружены в режиме двух пучков. Неустойчивость проявлялась в значительном (4–5 раз) увеличении радиальных размеров пучков при токах больше, чем $3 \text{ mA} \times 3 \text{ mA}$ ($E = 510 \text{ MeV}$). Неустойчивость была подавлена введением дополнительного быстрого затухания посредством согласования радиальных пластин, расположенных внутри вакуумной камеры.

4. Светимость. Ограничение на величину светимости обычно связано с достижением порогового значения сдвигов частот бетатронных колебаний из-за взаимодействия частиц с полем встречного пучка. Эксперименты обычно велись при бетатронных частотах $\gamma_z = 3,086$, $\gamma_x = 3,06$. Выбор этих значений обусловлен, во-первых, желанием работать чуть выше целого резонанса, где истинный сдвиг частоты меньше, чем полученный из линейного приближения ^{6/}. Во-вторых, в этой области нет сильных нелинейных резонансов 3,4,5 порядков. В третьих, рабочая точка на сетке резонансов для малых колебаний, смещающаяся из-за встречного пучка, при $\Delta\gamma_z > \Delta\gamma_x$ не пересекает линейного резонанса связи $\gamma_z - \gamma_x = 0$.

Сдвиг частоты может быть получен расчетным путем из измерений поперечных размеров, светимости и числа частиц, а также непосредственными измерениями частоты малых бетатронных колебаний методом резонансной раскачки. Получено хорошее совпадение при определении $\Delta\gamma$ разными методами.

Было проведено измерение сдвига частот $\Delta\gamma_z$ крит. начиная с которого увеличивается поперечный размер слабого пучка. Полученные результаты для различных пар мест встречи практически не отличаются друг от друга:

Тип места встречи	β_z (см)	β_x (см)	δ_z (мм)	δ_x (мм)	$\Delta\gamma_z$ критическое
I	5,8	39	0,008	0,25	0,05
2	334	415	0,06	0,73	0,04
3	158	268	0,041	0,58	0,04
4	154	25	0,041	0,21	0,04

Если токи электронов и позитронов различаются не более, чем на (20–30%), то увеличиваются поперечные размеры обоих пучков.

Максимальное значение светимости было получено в условиях, когда начальные вертикальные размеры пучков были подавлены специальными повернутыми квадрупольями, а самосогласо-

вальное увеличение вертикальных размеров в (2-3) раза происходило за счет эффектов встречи. Искусственное увеличение вертикального размера пучков введением небольшой связи вертикальных и радиальных колебаний не дало ожидавшегося выигрыша в светимости при предельных значениях токов электронов и позитронов (рис.4). Этот факт указывает на то, что введение связи уменьшает предельную величину /7/.

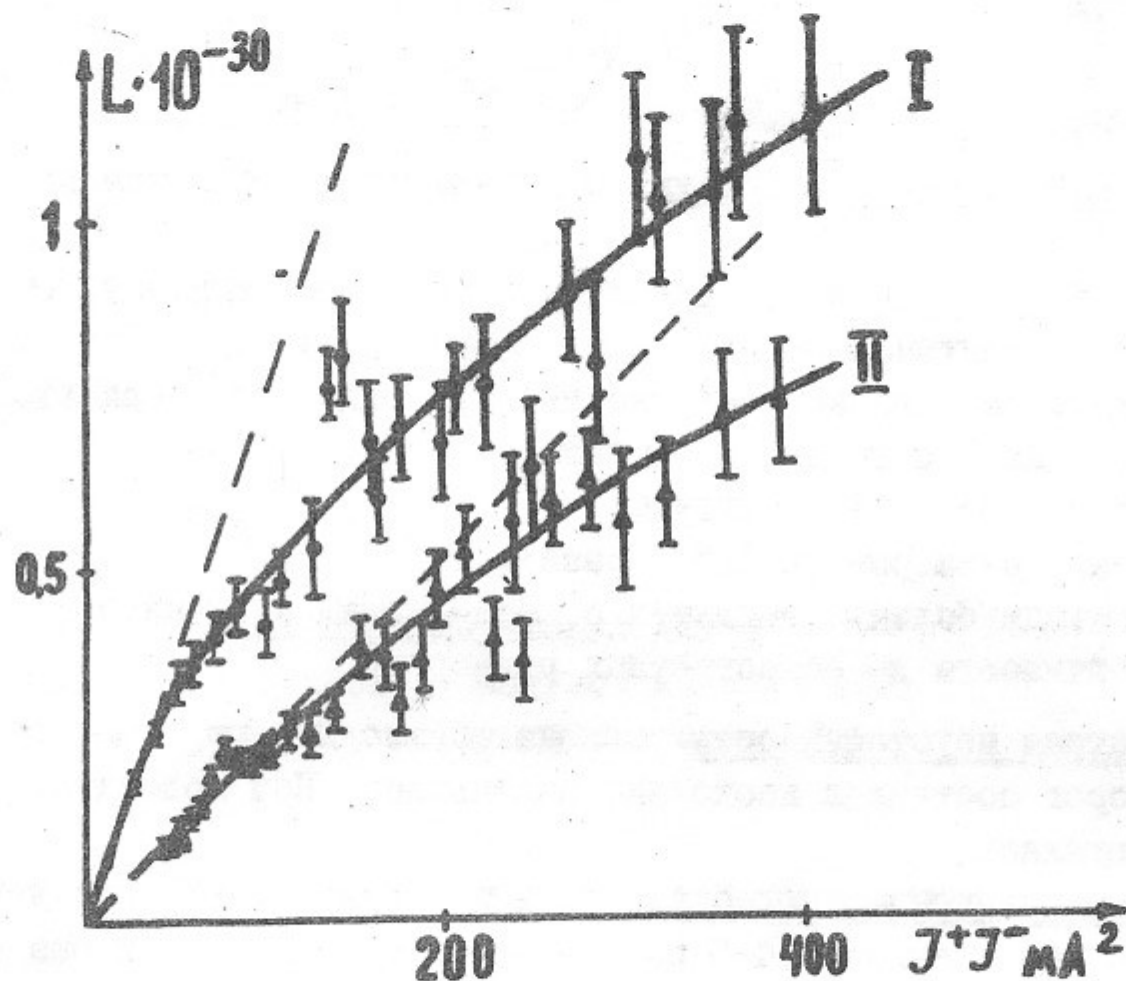


Рис.4. Зависимость светимости от произведения токов встречных пучков для двух различных значений начальных вертикальных размеров

Ниже приведены значения светимости для различных энергий:

$E \text{ (МэВ)}$	200	380	510	620	670
$(10^{30} \text{ см}^{-2} \text{ сек}^{-1})$	0,01	0,25	1,2	1,5	1

Работы по увеличению светимости ведутся в нескольких направлениях. Во-первых, имеются предпосылки увеличить значение максимального сдвига частоты вертикальных бетатронных колебаний при уменьшении γ_2 - Функции в области взаимодействия /7/. Другой способ связан с экспериментами по увеличению радиального эмиттанса пучков при воздействии на них шумовым возмущением. Третий способ рассчитан на организацию многосгусткового режима с разведением пучков в "ненужных" местах встречи.

5. Постановка экспериментов /8/. Для проведения экспериментов используются три экспериментальных промежутка.

Основная часть экспериментов выполнена на детекторе "ОЛЯ" с телесным углом $0,65 \times 4\pi$ стерадиан. Проведено подробное исследование области энергий от 2×380 до 2×670 МэВ. Изучено поведение сечений в реакциях $e^+ + e^- \rightarrow \bar{\Lambda}^+ \Lambda^-$, $\bar{\Lambda}^+ \Lambda^- \bar{\Lambda}^+ \Lambda^-$, $\bar{\Lambda}^0 \Lambda^0 \bar{\Lambda}^+ \Lambda^-$ и др. Полученные данные указывают на значительное отклонение от кривой Брейта-Вигнера в сечении образования двух Λ -мезонов в области энергий 1200 МэВ.

Проведен цикл экспериментов по изучению радиационной поляризации. Для измерения степени поляризации была использована зависимость скорости потерь при внутреннем рассеянии от взаимной ориентации спинов взаимодействующих частиц. Полученные значения времени и степени поляризации совпадают с теоретическими.

Разработан метод абсолютной калибровки энергии с использованием резонансной деполяризации. Получена точность измерения абсолютного значения энергии $\leq 1 \cdot 10^{-4}$. Это позво-

лило провести серию метрологических экспериментов. В частности, улучшена среднемировая точность, измерения массы ϕ -мезона. Проведен эксперимент по измерению массы заряженных каонов. В экспериментах по резонансной деполяризации одновременно электронного и позитронного пучков удалось провести сравнение аномальных магнитных моментов электрона и позитрона. Получена граница относительной разности $\Delta M'/M' \sim 1 \cdot 10^{-5}$, (прежнее значение составляло $\sim 1 \cdot 10^{-3}$).

Начаты эксперименты еще на двух других промежутках. На одной из них предполагается провести изучение формфакторов заряженных K -мезонов и K -мезонов. На другом установлен время-пролетный спектрометр с искровыми счетчиками для изучения форм-фактора заряженных K -мезонов вблизи порога рождения. В конце 1977 года планируется установка детектора со сверхпроводящим магнитом.

6. Синхротронное излучение. На накопителе имеются три вакуумных канала для работы с синхротронным излучением. Спектр СИ накопителя ВЭШ-2М простирается от видимого света до мягкого рентгена (до 10 Å). Каналы СИ оснащены спектрометрами скользящего и нормального падения с дифракционными решетками. В настоящее время на этой аппаратуре ведутся систематические исследования высоковозбужденных состояний простых молекул. Начаты работы по изучению многоэлектронных процессов при фотоионизации атомов.

Смонтирована установка для использования излучения накопителя в качестве абсолютного радиометрического стандарта в области длин волн от 700 до 3000 Å.

Л и т е р а т у р а

1. Г.И.Будкер, В.Е.Балакин, Л.М.Барков, В.Н.Боровиков, И.Б.Вассерман, Э.И.Зинин, М.М.Карлинер, И.А.Кооп, А.А.Лившиц, А.П.Лысенко, С.И.Мишнев, В.А.Сидоров, А.Н.Скринский, Э.М.Трахтенберг, Г.М.Тумайкин, Ю.М.Шатунов, У Всесоюзное совещание по ускорителям т. I, "Наука", 1973, стр. 318.
2. И.Б.Вассерман, И.А.Кооп, В.П.Кутовой, А.П.Лысенко, С.И.Мишнев, А.Н.Скринский, Г.М.Тумайкин, В.Г.Шамовский, Ю.М.Шатунов. У Всесоюзное совещание по ускорителям, Москва, 1976г.
3. С.Н.Середняков, А.Н.Скринский, Г.М.Тумайкин, Ю.М.Шатунов. ЖФ, т.71, вып.6, 1976, стр.2025-2032.
4. В.Л.Ауслендер, Г.И.Будкер и др. Труды 7-й Международной конференции по ускорителям частиц высоких энергий. Ереван (1969), т.2, стр.26.
5. В.А.Гусев, М.Н.Захваткин и др. Система автоматического управления и контроля ускорительно-накопительным комплексом ВЭШ-2М. У Всесоюзное совещание по ускорителям, Москва, 1976.
6. F.Amman Int. Conf. on High-Energy Acceler. CERN (1971), p. 471.
7. И.Б.Вассерман и др. Изучение стохастических эффектов при взаимодействии встречных пучков. Доклад на настоящей конференции.
8. В.А.Сидоров. Результаты экспериментов на ВЭШ-2М. А.Н.Скринский. Радиационная поляризация: получение, управление, применение. Труды XУШ Международной конференции по физике высоких энергий. Тбилиси, 1976, т. II, стр. В.13 и В.22.

Работа поступила - 5 августа 1977 г.

Ответственный за выпуск - С.Г.ПОПОВ
Подписано к печати 2.IX-1977 г. № 02983
Усл. 0,3 печ.л., 0,2 учетно-изд.л.
Тираж 250 экз. Бесплатно
Заказ № 82.

Отпечатано на ротапринте ИНФ СО АН СССР